

# ランダムな地震動に対する深基礎橋脚の応答について

京都大学 正会員 後藤尚男  
京都大学 学生会員 ○龜田弘行

**要旨** われわれは、上部構造の重量を載荷した橋脚を図-1の振動モデルで表めし、その地震応答の解析を行なって、結果の一部を発表したが<sup>1)</sup>、さらにランダムな地震動が基盤層から入射する場合の橋脚モデルの応答を求めようとした。

## 1. 振動モデルの力学特性

図-1の振動モデルの運動方程式は次式で表められる。

$$\ddot{z}_s + 2h_n \omega_n \dot{z}_s + \omega_n^2 z_s = -\omega_n^2 g(t) \quad \dots \dots (1)$$

ここで  $z_s$ : 質点の絶対変位,

$m_s$ : (上部構造の重量  $w$  + 橋脚および基礎工からの換算重量) /  $g$

$$\omega_n = \sqrt{\frac{15K - d^T A^{-1} d}{m_s}}, \quad h_n = \frac{c}{2\sqrt{m_s(15K - d^T A^{-1} d)}} \quad \dots \dots (2)$$

$$g(t) = U^T \mathcal{X}, \quad U^T = \frac{d^T A^{-1} K}{15K - d^T A^{-1} d} \quad \dots \dots (2)$$

$$d = \begin{bmatrix} \lambda_1 K \\ -6\lambda_1 K \\ 24\lambda_1 K \\ -(15+19\lambda_1)K \end{bmatrix}, \quad K = \begin{bmatrix} k_0 & 0 & 0 & 0 \\ 0 & k_1 & 0 & 0 \\ 0 & 0 & k_2 & 0 \\ 0 & 0 & 0 & k_3 \end{bmatrix}, \quad \mathcal{X} = \begin{bmatrix} x_0 \\ x_1 \\ x_2 \\ x_3 \end{bmatrix}$$

$$A = \begin{bmatrix} \{k_0 + \lambda_1^2 K(1+8\lambda_2)\}, -2\lambda_1^2 K(8+9\lambda_2), 12\lambda_1^2 K(1+\lambda_2), -\lambda_1 K(1+3\lambda_1+2\lambda_1\lambda_2) \\ * \quad \{k_1 + 4\lambda_1^2 K(11+12\lambda_2)\}, -2\lambda_1^2 K(23+21\lambda_2), 6\lambda_1 K(1+3\lambda_1+2\lambda_1\lambda_2) \\ * \quad * \quad \{k_2 + 6\lambda_1^2 K(5+3\lambda_2)\}, -2\lambda_1 K(12+23\lambda_1+9\lambda_1\lambda_2) \\ * \quad * \quad * \quad \{k_3 + K(15+38\lambda_1+31\lambda_1^2+8\lambda_1^2\lambda_2)\} \end{bmatrix}$$

$$\lambda_1 = \frac{3h}{d}, \quad \lambda_2 = \frac{3h/E_p I_p}{d/E_f I_f}, \quad K = \frac{3\lambda_2 E_p I_p}{(13+15\lambda_2)h^3}, \quad *: 対称行列であることを示す。$$

## 2. 地表層中の地震動

基盤層から入射する地震加速度  $\psi(t)$  を Gaussian stationary process とし、そのスペクトル密度を、田辯見-Jennings の式に反射波の影響を除くため  $1/4$  を乗じたものとする。

$$S_\psi(\omega) = \frac{2.875(1+\omega^2/147.8)}{(1-\omega^2/242)^2 + \omega^2/147.8} \quad (\text{cm}^2 \cdot \text{sec}^{-3} \cdot \text{rad})$$

さらに地表層中のせん断波の伝播理論を応用すれば、図-1の点までにかけた地震加速度のスペクトル密度  $S_j(\omega)$  はつきのように求まる。

$$S_j(\omega) = |V_j(\omega)|^2 S_\psi(\omega), \quad (j=0, 1, 2, 3)$$

$$\text{ただし } |V_j(\omega)|^2 = \frac{4(\nu_1^2 + \nu_2^2) \chi_{jj}^{(i)}}{(\nu_1^2 + \nu_2^2) \chi_{21} + \nu_1^2 \chi_{22} + \nu_2^2 \chi_{23}}, \quad \chi_{jj}^{(i)} = \sinh^2 \frac{\omega d \nu_i}{\nu_i} (1 - \frac{i}{3}) + \cos^2 \frac{\omega d \nu_i}{\nu_i} (1 - \frac{i}{3}),$$

$$\chi_{21} = \sinh^2 \frac{\omega d \nu_2}{\nu_1} + \cos^2 \frac{\omega d \nu_1}{\nu_1}, \quad \chi_{22} = \sinh^2 \frac{\omega d \nu_2}{\nu_1} + \sin^2 \frac{\omega d \nu_1}{\nu_1},$$

$$\chi_{23} = \nu_1 \sinh \frac{2\omega d \nu_1}{\nu_1} - \nu_2 \sin \frac{2\omega d \nu_1}{\nu_1}, \quad \nu_i = \left\{ \cos \left( \frac{\tan^{-1} \varepsilon}{2} \right) \right\} / (1 + \varepsilon^2)^{\frac{1}{4}}$$

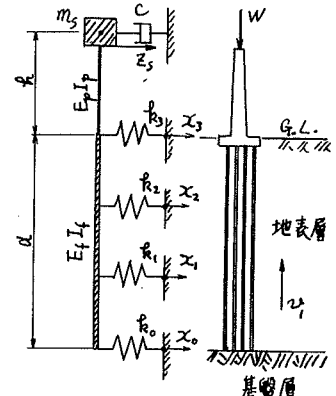


図-1 振動モデル

ここに  $v_3$  はセン断波の伝播速度,  $\alpha$  は地表層と基盤層の振動インピーダンス比,  $\varepsilon$  は地表層の粘性抵抗を表す。

地表層表面にかけた最大地震加速度と基盤層が露出している場合のそれとの比  $M_g$  は,

$$M_g = \left\{ \int_{-\infty}^{\infty} |V_3(\omega)|^2 S_\eta(\omega) d\omega / 4 \int_{-\infty}^{\infty} S_\eta(\omega) d\omega \right\}^{1/2}$$

となる。

### 3. 橋脚頂部の加速度応答

式(1)中の外力関数  $g(t)$  のスペクトル密度  $S_g(\omega)$  は次式で表わされる。

$$S_g(\omega) = \left\{ \sum_{i,j=0}^3 u_i u_j X_s^{(ij)} \right\} |V_3(\omega)|^2 S_\eta(\omega) / \omega^4$$

$$\text{たゞ } 1 \quad X_s^{(ij)} = \cosh \frac{\omega d \nu_i}{\nu_i} (1 - \frac{i}{3}) \cosh \frac{\omega d \nu_j}{\nu_j} (1 - \frac{j}{3}) \cos \frac{\omega d \nu_i}{\nu_i} (1 - \frac{i}{3}) \cos \frac{\omega d \nu_j}{\nu_j} (1 - \frac{j}{3}) \\ + \sinh \frac{\omega d \nu_i}{\nu_i} (1 - \frac{i}{3}) \sinh \frac{\omega d \nu_j}{\nu_j} (1 - \frac{j}{3}) \sin \frac{\omega d \nu_i}{\nu_i} (1 - \frac{i}{3}) \sin \frac{\omega d \nu_j}{\nu_j} (1 - \frac{j}{3})$$

ここで  $u_k$  は、式(2)の24中の  $k+1$ 番目の要素である。

一方、式(1)より  $g(t) = e^{i\omega t}$  に対する  $Z_s$ ,  $\ddot{Z}_s$  の周波数応答の絶対値の2乗は、それぞれ  $|H_D(\omega)|^2 = 1 / [\{1 - (\omega/\omega_n)^2\}^2 + \tan^2(\omega/\omega_n)^2]$ ,  $|H_A(\omega)|^2 = \omega^4 |H_D(\omega)|^2$

で与えられる。以上より、橋脚頂部と地表層表面の最大加速度比  $M_A$  が次式のように求められる。

$$M_A = \left\{ \int_{-\infty}^{\infty} |H_D(\omega)|^2 S_g(\omega) d\omega / \int_{-\infty}^{\infty} |V_3(\omega)|^2 S_\eta(\omega) d\omega \right\}^{1/2}$$

### 4. 数値計算例

表-1 振動モデルの諸定数および地盤条件

モデルNo.	$E_p I_p (\text{kg/cm}^2)$	$E_f I_f (\text{kg/cm}^2)$	$h(\text{m})$	$T_n = \frac{2\pi}{\omega_n} (\text{sec})$	$C_p (\text{kg/sec/cm})$	$u_i, (i(2))$ の各要素			
						$u_0$	$u_1$	$u_2$	$u_3$
1	$3.53 \times 10^{13}$	$1.60 \times 10^{13}$	4.50	0.3635	$17.29 \times 10^4$	0.07641	-0.2133	-2.017	5.433
2	$5.00 \times 10^{13}$	$4.00 \times 10^{12}$	4.50	0.5292	$11.87 \times 10^4$	-0.1151	1.040	-6.431	12.46
3	$2.00 \times 10^{13}$	$1.60 \times 10^{13}$	4.50	0.6842	$9.754 \times 10^3$	0.2400	-0.6697	-6.333	17.06
4	$2.32 \times 10^{13}$	$2.00 \times 10^{12}$	4.50	0.6990	$8.988 \times 10^3$	-0.3560	2.489	-12.10	22.09
5	$1.35 \times 10^{13}$	$4.00 \times 10^{12}$	8.00	1.006	$6.248 \times 10^3$	-0.8142	7.207	-42.10	60.82

表-1 に示したように地盤条件から振動モデルについて数値計算を行なった。地表層による地盤加速度の増幅率は、 $\varepsilon = 0$  のとき  $M_g = 1.93$ ,  $\varepsilon = 0.10$  のとき  $M_g = 1.55$  となつた。

振動モデルの減衰定数  $\eta_n = 0.1$  の場合について求めた  $M_A$  の値を表-2 に示した。さらに詳細な数値計算が現在続行中である。

本数値計算には京都大学 KDC-I を用いた。

1) 第 20 回土木学会年次学術講演会(昭和 40 年 5 月), I-22

表-2 最大応答加速度比

モデルNo.	$M_A$	
	$\varepsilon = 0$	$\varepsilon = 0.1$
1	7.729	8.255
2	18.98	19.54
3	19.71	
4	19.98	
5	21.13	